

## 土石流の運動機構に関する研究

京都大学防災研究所 (正) 芦田和男  
 同 (正) 高橋保  
 京都大学大学院 (准) 南波芳樹  
 同 (准) 寺田昌史

## 1. まえがき

前報<sup>1)</sup>にひきつづき、表面流の作用によって土石流を発生させる実験も、流量とこう配を系統的に変化させて行ない、その結果、興味ある事実を見いだしたのでそれについて報告する。中20cmの長方形断面の水路に図1のような粒度構成をもつ土砂を厚さ14cmで數々飽和状態にしたうえ、上流端から急激に水を供給して土石流を発生させ、先端の移動速度濃度、流動層の厚さ、および河床の侵食状況を観察した。(実験条件：流量  $Q_0 = 0.46 \text{ l/s}$ ,  $1\%$ ,  $3\%$ ; こう配  $i = 0.22$  ～  $25^\circ$  ( $0.122$ ) ～  $0.423$  の 8 種)

## 2. 実験結果

こう配が小さい流れ(ほぼ  $i = 0.22$  以下)で見られた土砂輸送の形式は通常の掃流と変わらないが、濃度がひじょうに大きいものであった(図2)。また、こう配とともに濃度  $C_v$  は増大し、 $i = 0.2$  ～  $0.3$  のあたりで急激に増大することは、土砂の運搬形式の遷移を示唆するものと思われる。参考のために、同一条件のもとで芦田・直上式から計算される掃流砂量から得た濃度をも記しておく。

こう配が大きい場合(ほぼ  $i = 0.25$  以上)に砂堆が発生し、それが自身が流動化して流下したが、その特徴はつきのようである。

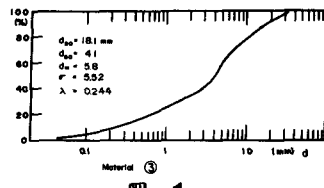
1) 砂堆先端には比較的大きいれきが集中し、それらの砂れきが回転しつつ流下する。

2) それら続く部分は細かい土砂を多量に含み、流動性の高い、泥流といえる流れである。

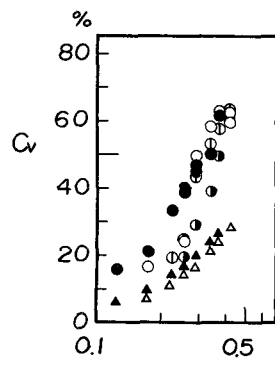
3) 流動層の厚さは、先端の段波通過時に最も大きいが、以後は時間的にはほぼ一定の厚さを保つ。また、その後に間けつ的に段波が通過する場合もある。これらの間けつ的な段波の先頭にも巨れきの集中が見られる。(図3参照。上流端から 3.5m 地点での水面と河床の変化を示し、 $Z = 0$  の

破線はもとの河床高である。 $Q_0 = 0.46 \text{ l/s}$ , こう配  $25^\circ$  のケース)

4) 河床や泥流部の通過に伴って激しく侵食され、侵食された土砂は流れたりこまれる。侵食は時間的にはほぼ一定の速さで進行する。

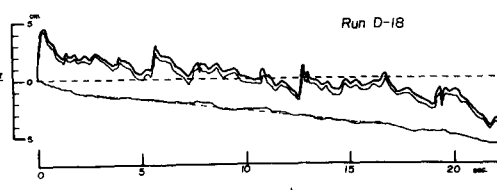


図・1



$Q_0 (\text{l/s})$	30	10	0.46	0.23
measured	●	○	◐	○
Ashida - Michine eq	▲	△	-	-

図・2



図・3

全ケースについて、先端の厚さと移動速度を、抵抗係数  $f = \frac{84k^2}{V^2} \times h/d_{90}$  の関係で整理したものが図-4である。点のばらつきもかなりあるが、相対水深の増加とともに抵抗係数が増加する傾向がみられ、しかも、与えた流量ごとに一本の直線たのようである。

### 3. 解析モデル

図-5のようなモデルを考えると、土石流が河床砂(および間げき水)を流れこり込むことから、

$$\text{水の連続式: } \frac{\partial(M-z)(1-C_v)}{\partial t} + \frac{\partial q}{\partial x} = -\frac{\partial z}{\partial t} \lambda \quad \dots \dots (1)$$

$q$ :  $(x, t)$  での流量,  $\lambda$ : 空隙率

$$\text{砂の連続式: } (1-\lambda) \frac{\partial z}{\partial t} + \frac{\partial q_s}{\partial x} = 0 \quad \dots \dots (2)$$

$q_s$ :  $(x, t)$  での流砂量

水と砂が一体化して、同一の速度  $v$  で流れるとすれば、

$$q_s = C_v \cdot v (\eta - z) \quad \dots \dots (3)$$

$$q = (1-C_v) \cdot v (\eta - z) \quad \dots \dots (4)$$

抵抗則として図-4にみられたような関係を用いることとすれば、

$$f = \frac{84k^2}{V^2} = K_1 \cdot \frac{\eta - z}{d_{90}} \quad \dots \dots (5)$$

( $K_1$ : 定数、図-4が求まり、初期の流量  $Q_0$  によって決まる)

また、侵食現象を表わす関係式として、観察結果から、

$$\frac{\partial z}{\partial t} = -K_2 \quad (K_2 > 0, \text{ 定数}) \quad \dots \dots (6)$$

以上の方程式(1)～(6)を解いて  $V$ ,  $\lambda$ ,  $C_v$  を求めれば

$$V = \sqrt{8g d_{90} i_0 / K_1} \equiv V_0 \quad \dots \dots (7)$$

$i_0$ : 初期こう配;  $(x, t)$  におけるこう配  $i_0$  をもとに近似

先端においては、

$$h = \eta - z = K_2 t + K_3 \quad (K_3 = \frac{Q_0}{B V_0}, B: \text{横幅}) \quad \dots \dots (8)$$

$$C_v = \sqrt{\frac{(1-\lambda) K_2 x}{V_0 (K_2 t + K_3)}} \quad \dots \dots (9)$$

ここで  $x = 26t$

以上の結果を実測値と比較した例が図-6、図-7であり、他のケースについても比較的よく現象を説明するようである。しかし、これらは土石流の発達過程を表わした関係式であり、どのような  $x, t$  で達すると平衡状態が形成されるかは、今後、検討しなければならない。

### 4. あとがき

上の解析においてひじょうに重要な要素である土石流の抵抗係数と侵食速度を与える関係について、実験的に得た結果を定式化して用いたが、必ずしも一般的な関係ではない。これについては、今後、流动層内の土砂の挙動をより詳細に観察して、物理的考察を加えていく必要がある。

参考文献: 1) 芦田・南波・寺田: 土石流の発生に関する研究, 49年度土木学会支部年講, 549年

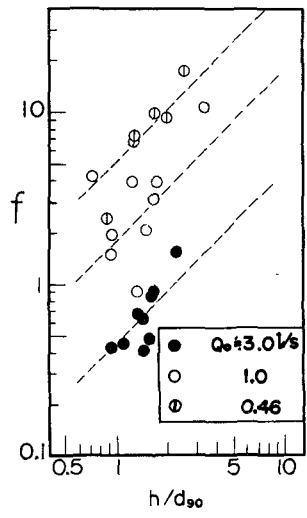


図-4

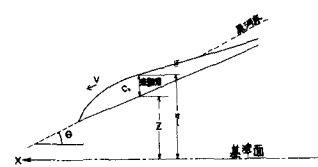


図-5

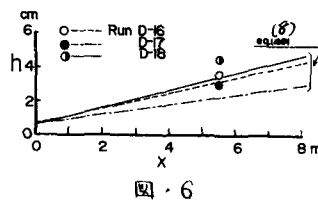


図-6

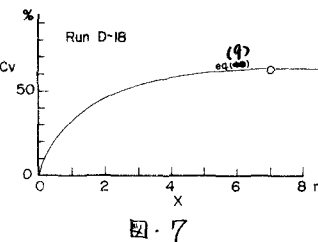


図-7